

Я. Б. ЗЕЛЬДОВИЧ, член-корреспондент АН СССР, и К. П. СТАНЮКОВИЧ

**ОБ ОТРАЖЕНИИ ПЛОСКОЙ ДЕТОНАЦИОННОЙ ВОЛНЫ**

Как известно, для продуктов детонации конденсированных взрывчатых веществ приближенно справедлив, при больших плотностях ( $> 1$  г/см<sup>3</sup>), закон адиабатического расширения

$$p v^3 = \text{const} \quad (1, 2).$$

Изучая отражение фронта сильной детонационной волны от абсолютно прочной стенки, можно прийти к формулам (3), дающим давление и плотность в первый момент

$$p_2 = p_n \frac{5\gamma + 1 + \sqrt{17\gamma^2 + 2\gamma + 1}}{4\gamma}, \quad (1)$$

$$v_2 = v_n \frac{9\gamma^2 - 1 + (\gamma - 1) \sqrt{17\gamma^2 + 2\gamma + 1}}{9\gamma^2 + 2\gamma + 1 + (\gamma + 1) \sqrt{17\gamma^2 + 2\gamma + 1}}, \quad (2)$$

$$D_2 = -\frac{v_2}{v_0} \left( \frac{r_2}{p_n} - 1 \right) D, \quad (3)$$

где  $\gamma$  — показатель политропы, в нашем случае равный 3;  $p_n = \frac{\rho_0 D^2}{\gamma + 1}$  — давление на фронте детонационной волны;  $\rho_0 = \frac{1}{v_0}$  — плотность ВВ,  $v_n$  — удельный объем на фронте детонационной волны,  $p_2$  и  $v_2$  — давление и удельный объем на фронте отраженной ударной волны,  $D$  — скорость фронта детонационной волны и  $D_2$  — скорость фронта отраженной волны.

Эти формулы получены из стандартной теории ударных волн в предположении  $E = \frac{1}{\gamma - 1} \frac{1}{2} = \frac{1}{2}$  при  $\gamma = 3$  (см. таблицу, I). Это предположение не должно рассматриваться как точное, так как при последовательном проведении оно привело бы к скорости детонации  $D = \sqrt{2(\gamma^2 - 1)} \bar{Q} = 4 \sqrt{\bar{Q}}$ , не зависящей от плотности; между тем, само уравнение  $p v^3 = \text{const}$  было выведено из экспериментальных данных о зависимости скорости детонации от плотности ВВ. Возможно решить ту же задачу, задавшись  $p v^3 = \text{const}$  не только на изэнтропе, но и на адиабате Гюгонио ударной волны и применяя точные формулы

теории ударных волн  $D = u_1 \pm \sqrt{v_1^2 \frac{r_2 - p_1}{v_1 - v_2}}$  и  $u = u_2 \pm \sqrt{(p_2 - p_1)(v_1 - v_2)}$  (см. таблицу, II).

Наконец, можно приближенно рассмотреть изменение состояния и скорости в ударной волне, применяя формулы, справедливые для совокупности акустических волн  $du = \pm c \frac{d\rho}{\rho} = \pm \frac{2}{\gamma-1} dc = \pm dc$  (при  $\gamma=3$ ) и их интеграл  $|u_1 - u_2| = |c_1 - c_2|$  (см. таблицу, III).

Для состояния в начальный момент все три способа дают весьма близкие результаты.

	I	II	III
$p_2/p_1 \dots$	2,387	2,347	2,370
$v_2/v_1 \dots$	0,76)	0,753	0,750
$c_2/c_1 \dots$	1,347	1,329	1,333

Такое совпадение является следствием малого отношения скорости к скорости звука  $u_1/c_1 = 1/8$  в набегающем на стенку потоке, что приводит к близости ударной волны к акустической и, в частности, к малому изменению энтропии (4). Любопытно, что это имеет место при значительном изменении давления — почти в 2,5 раза\*.

Это обстоятельство позволяет для  $\gamma=3$  весьма просто решить задачу об отражении детонационной волны, пользуясь акустической связью  $u$  и  $c$ .

В самом деле, как было показано (5), при показателе политропы  $\gamma=3$  общие решения уравнений одномерного неустановившегося движения газа имеют вид:

$$x = (u + c)t + F_1(u + c), \quad (4)$$

$$x = (u - c)t + F_2(u - c), \quad (5)$$

где  $u$  — местная скорость потока газа,  $c$  — местная скорость звука,  $F_1, F_2$  — произвольные функции.

Рассмотрим такую задачу. Пусть детонационная волна начинается у левого открытого конца ВВ (там же выбираем начало координат), длину заряда обозначим через  $a$  и у правого конца при  $x=a$  поместим стенку; тогда детонационная волна будет описываться уравнениями (6)

$$x = (u_1 + c_1)t, \quad (6)$$

$$u_1 - c_1 = -D/2. \quad (7)$$

Движение продуктов детонации, разлетающихся налево (в пустоту, наличием воздуха всегда можно пренебречь), описывается этими же уравнениями (рис. 1, верхняя пара кривых). В момент времени  $t = a/D$  детонационная волна подходит к стенке и от нее отражается.

Определим из условий, что при  $x=a, u \equiv 0$  и что на фронте отраженной волны выполняется условие

$$u_2 + c_2 = u_1 + c_1, \quad (8)$$

значение произвольных функций  $F_1$  и  $F_2$ .

Заметим, что скорость разрыва в отраженной волне имеет знак, противоположный скорости разрыва на детонационной волне. Поскольку при  $t = a/D$ , новое решение определено при  $x=a$  и при этом  $u_2 = 0, c_2 = -D$ , то  $F_1(u + c) = a + \frac{a}{D} = 2a, F_2(u - c) = a - \frac{a}{D} D = 0$ ; отсюда имеем:

$$u_2 = \frac{x-a}{t}; \quad (9)$$

$$c_2 = -\frac{a}{t}. \quad (10)$$

\* Можно показать, что и при любом показателе политропы, включая  $\gamma=1$ , энтропия при отражении детонационной волны мало меняется.

Скорость фронта для слабой ударной волны (?)  $2D = u_1 \pm c_1 + u_2 \pm c_2$ , что при  $\gamma = 3$  и  $\Delta u = \pm \Delta c$  даст

$$D_2 = c_2 + u_1. \quad (11)$$

Отсюда

$$D_2 = \frac{dx}{dt} = -\frac{a}{t} + \frac{x}{2t} - \frac{D}{4}.$$

Интегрируя и помня, что при  $t = a/D$   $x = a$ , получаем

$$x = -\frac{Dt}{2} - \frac{1}{2}\sqrt{aDt} + 2a, \quad (12)$$

что дает закон распространения фронта отраженной волны. Отсюда

$$D_2 = -\frac{D}{2} - \frac{1}{4}\sqrt{\frac{aD}{t}}. \quad (13)$$

Отметим, что относительная амплитуда волны в этом решении возрастает по мере ее распространения, вследствие чего погрешность сделанных допущений также растет. Отраженная волна в случае точного решения, учитывающего изменение энтропии, должна была бы догнать левый фронт расширяющихся продуктов детонации при  $t \rightarrow \infty$  ( $\rho \rightarrow 0$ ); найденное нами решение дает, что встреча будет иметь место.

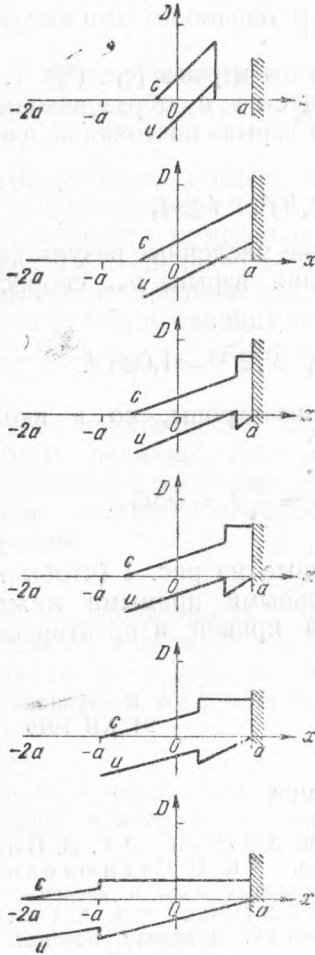


Рис. 1

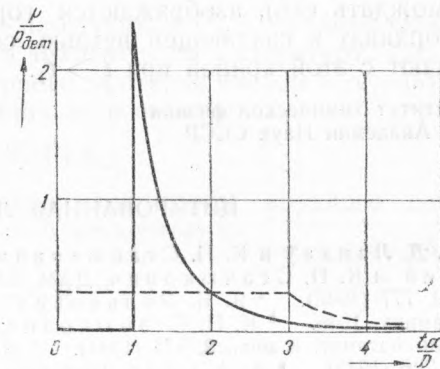


Рис. 2

при  $x = -Dt/2 = -Dt/2 - 1/2\sqrt{aDt} + 2a$ , откуда  $t = 16a/D$  и  $x = -8a$ . Давление на стенку при этом будет  $\frac{64}{27} \frac{r_n}{16^3} = 0,0006 p_n$ , т. е.

будет действительно пренебрежимо мало. Таким образом, неточность скажется лишь при больших  $t$ , когда  $p$  весьма мало, т. е. в области, которая физически нас более не интересует. Распределение скорости потока и скорости звука в отраженной волне в различные моменты времени иллюстрируется рис. 1 \*; плотность  $\rho \sim c$ , давление  $\sim c^3$ .

\* Верхняя пара кривых дает распределение при разлете продуктов детонации до того, как волна дошла до стенки.

Вычислим полный импульс давления, действующего на стенку:

$$J = \int_{a/D}^{\infty} p dt = \frac{64}{27} p_n \left(\frac{a}{D}\right)^3 \int_{v/D}^{\infty} \frac{dt}{t^3} = \frac{64}{27} \frac{a \rho_0 D}{8} = \frac{8}{27} \alpha \rho_0 D. \quad (14)$$

Кривая давления при подрыве равного заряда у стенки, так что детонационная волна распространялась бы от стенки к открытому концу заряда, см. в статье (5). Кривые давления на стенку в обоих случаях сравнены на рис. 2; максимальное давление в случае отражения (сплошная кривая) в 8 раз превышает давление на стенку за фронтом удаляющейся от стенки волны (пунктирная кривая); однако полный импульс давления в обоих случаях одинаков.

Наконец, рассматривая случай обыкновенного взрыва (ср. (8)), т. е. мгновенной реакции всего взрывчатого вещества с образованием в первый момент слоя неподвижных продуктов взрыва постоянной плотности, мы получим кривую давления вида

$$p = p_v; \quad t < t_1 = a/c_0; \quad p = p_v (t_1/t)^3; \quad t > t_1$$

и, в зависимости от предположений, следующие численные результаты.

1. Полагая  $E = p v / 2$ , найдем для давления взрыва  $p_v$ , скорости звука в продуктах  $c_0$  и импульса  $J_v$

$$p_v = 0,5 p_n; \quad c_0 = D \sqrt{3/8}; \quad J_v = J \sqrt{3^7/2^{11}} = 1,035 J.$$

2. Полагая  $p v^3 = \text{const}$  не только вдоль изэнтропы, но и вдоль адиабаты Гюгонио,

$$p_v = \frac{27}{64} p_n = 0,42 p_n; \quad c_0 = D \frac{9}{16}; \quad J_v = \frac{3^5}{2^8} J = 0,95 J.$$

Соответствующие кривые  $p(t)$ , не показанные на рис. 1 (чтобы не загромождать его), изображаются горизонтальными прямыми между осью ординат и спадающей ветвью сплошной кривой и практически совпадают с этой кривой при  $t > t_1$ .

Институт химической физики  
Академии Наук СССР

Поступило  
24 XII 1946

#### ЦИТИРОВАННАЯ ЛИТЕРАТУРА

- <sup>1</sup> Л. Д. Ландау и К. П. Станюкович, ДАН, 46, 399 (1945). <sup>2</sup> Г. И. Покровский и К. П. Станюкович, ДАН, 52, 33 (1946). <sup>3</sup> К. П. Станюкович, ДАН, 52, 777 (1946). <sup>4</sup> Я. Б. Зельдович, Теория ударных волн и введение в газодинамику, 1946. <sup>5</sup> К. П. Станюкович, ДАН, 53, 523 (1946). <sup>6</sup> А. А. Гриб, Прикладн. математ. и мех., 8, 273 (1944). <sup>7</sup> Л. Д. Ландау, Прикладн. математ. и мех., 9, 286 (1945). <sup>8</sup> А. А. Гриб, Прикладн. математ. и мех., 8, 169 (1944).